

Юбилейная XXX научная сессия Совета по нелинейной динамике

Корабельные волны на поверхности океана со сплошным ледяным покрытием

Сергей Бадулин^{1,2}, Владимир Гневашев¹,
Юрий Степанянц³

¹ Институт океанологии им.П.П. Широва РАН

² Сколковский институт науки и технологий

³ University of Southern Queensland, Toowoomba, Australia.



Skoltech

Skolkovo Institute of Science and Technology

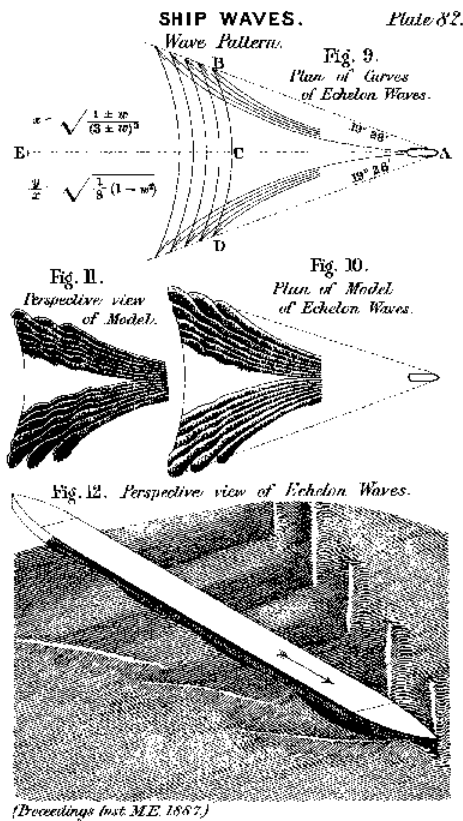
Подчеркнем

1. Растущий интерес к Арктике (и Антарктике), а, значит, к задачам, связанным со льдом
2. Изгибно-гравитационные волны, знакопеременная дисперсия – «практический» диапазон масштабов
3. Скоро Новый год

You are welcome to copy the presentation
badulin.si@ocean.ru

On ship waves

Sir William Thomson, Aug.1887

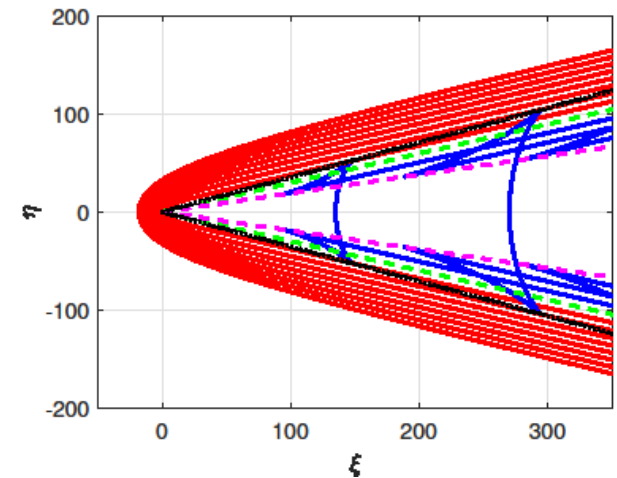
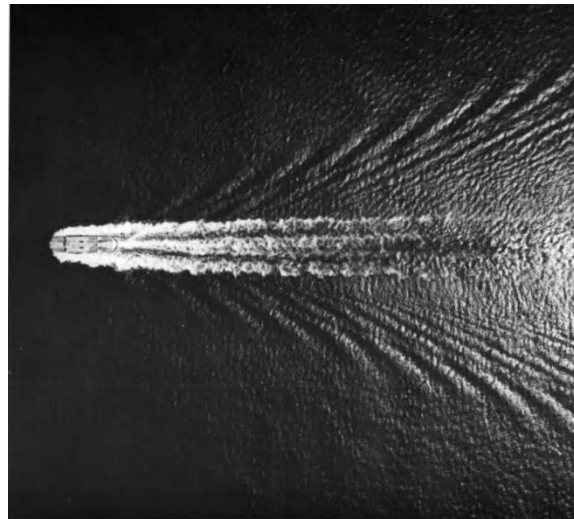
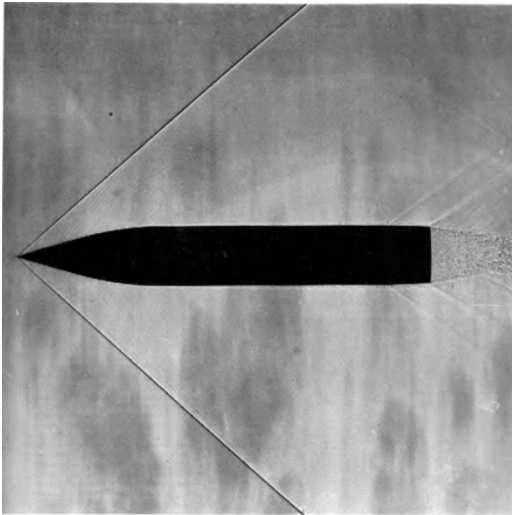


1. Системы расходящихся и поперечных волн;
2. Угол волнового конуса (угол Кельвина) не зависит от скорости
3. Картина формируется очень быстро ('about two and a half of wavelengths' in words of Kelvin)

Остается проблема сглаживания сингулярностей ("to blur, to smooth it down" Kelvin, Havelock, Lighthill, Lamb, Sretensky et al) в существенно двумерной задаче. Метод стац.фазы следует применять с большой осторожностью

Wave wakes in dispersive media ab ovo

Van Dyke, 1982



Нет дисперсии $C_p = C_g$

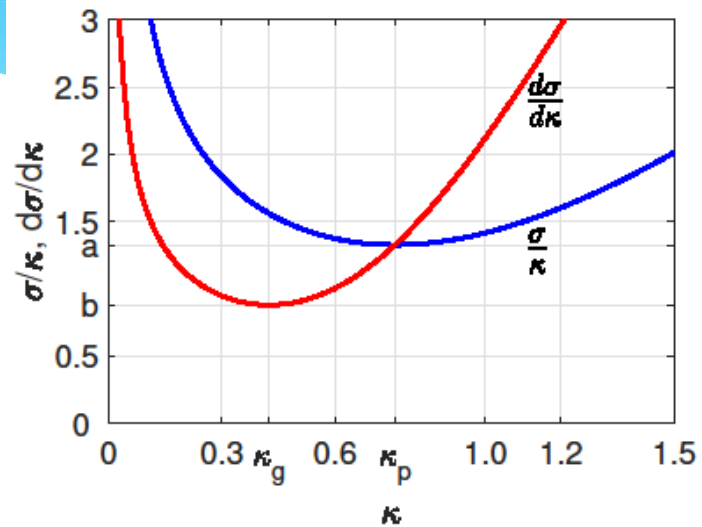
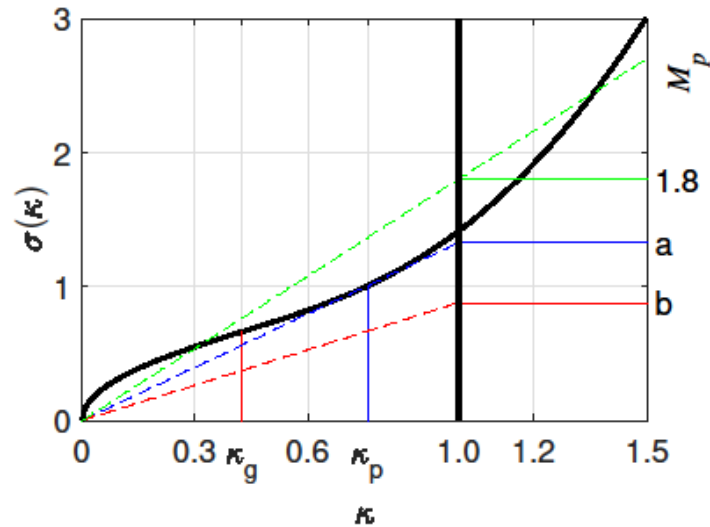
$$\int_{-\infty}^{\infty} 1/\sin kx dk \rightarrow \delta(x)$$

Отрицательная дисперсия,
степенной закон

$$C_p / C_g = const > 1$$

Знакопеременная
дисперсия. Многие можно
получить аналитически

Дисперсия изгибно-гравитационных волн



В дисперсионном соотношении нет параметров, остается только внешний параметр - скорость

Q. Можно ли и как разделить изгибные и гравитационные волны?

A. Полезно помнить и о фазовом M_p , и о групповом M_g числах Маха

О масштабах

Небольшие Махи представляют практический интерес



Северная Двина
Лед около 10 см,
Фазовая скорость
около 2 м/с (7.2 км/ч)



www.shutterstock.com · 1042852699

Нева у Дворцового моста, 08 марта 2018
 $h=40$ см, $C_p=6.7$ м/с,
Аэросани до 50 км/ч (13 м/с)



Арктический лед.
 $h=3$ м, $C_p=25$ м/с,
посадочная скорость
~50 м/с

Метод эталонных решений

(see also Kelvin, 1906; Havelock, 1908; Gnevyshev & Badulin, 2017;)

Решение линейной проблемы в общем виде

$$F = \int H(\mathbf{k}) \exp(i(\omega(\mathbf{k})t + \mathbf{k}\mathbf{x})) d\mathbf{k}$$

Начальный импульс специальной формы (e.g. Kelvin, Havelock)

Удобно взять гауссов импульс (Федорюк, 1987).

$$\int_{R^n} \exp\left[-\frac{1}{2}\langle \mathbf{B}\mathbf{x}, \mathbf{x} \rangle - i\langle \mathbf{x}, \boldsymbol{\xi} \rangle\right] d\mathbf{x} = (2\pi)^{n/2} (\det \mathbf{B})^{-1/2} \exp\left[-\frac{1}{2}\langle \mathbf{B}^{-1}\boldsymbol{\xi}, \boldsymbol{\xi} \rangle\right]$$

Фурье Гаусса \Leftrightarrow Гауссов импульс

Аппроксимируем аргумент экспоненты параболической поверхностью (пакет узкий) и смотрим распространение несущей гармоники (как в стац.фазе, но для несущей гармоники)

Точечный пакет конечной ширины эллиптической формы

Кинематика

Лучевые уравнения (для несущей гармоники)

$$\sigma = \kappa_x M_p + \sqrt{\kappa + \kappa^5} = 0 \quad (*) \quad - \text{ условие стационарности}$$

Ищем условный экстремум (eq.*) фазы $\varphi = \mathbf{kx}$, время τ – лагранжев множитель

Лучи
$$\xi = \frac{\partial \omega}{\partial \kappa_x} \tau; \quad \eta = \frac{\partial \omega}{\partial \kappa_y} \tau$$

На каждом луче волновое число постоянно. Для минимума фазовой скорости – угол Маха (фазовый)

$$\left(\frac{\xi}{\eta} \right)_{\kappa_p} = \pm \sqrt{M_p^2 - 1}$$

Что можно сказать о групповом M_g ?

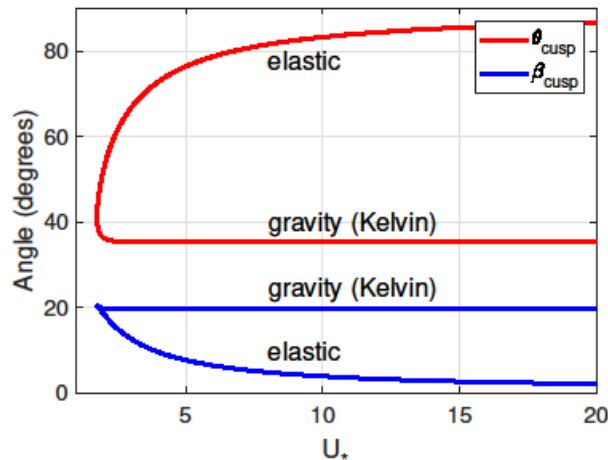
Изофазы в до- и надкритических режимах

Зеленый – фазовый Мах

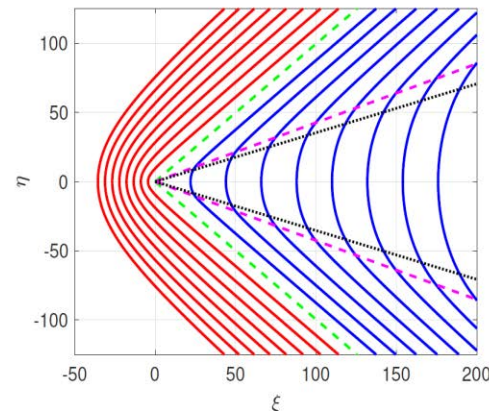
Мажента – групповой Мах и «внутренние каустики»

Черные точки – внешние каустики – угол Кельвина

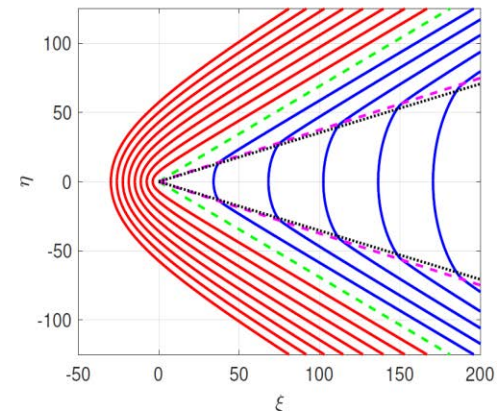
Каустики (β_c) и фронты (Θ_c)



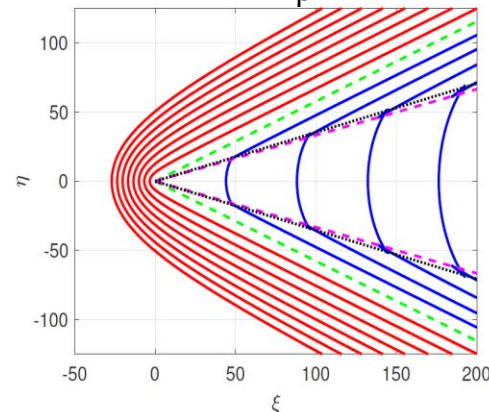
$M_p=1.42$



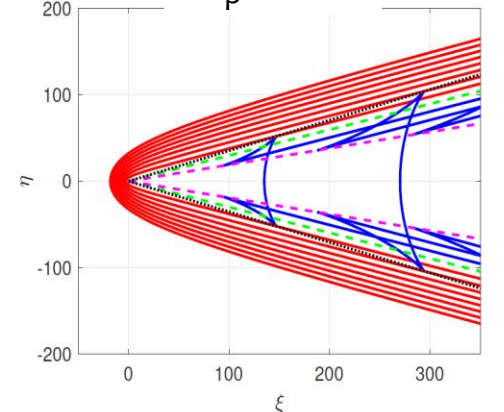
$M_p=1.75$



$M_p=2$



$M_p=4$



Каустики

Два луча приходят в одну и ту же точку

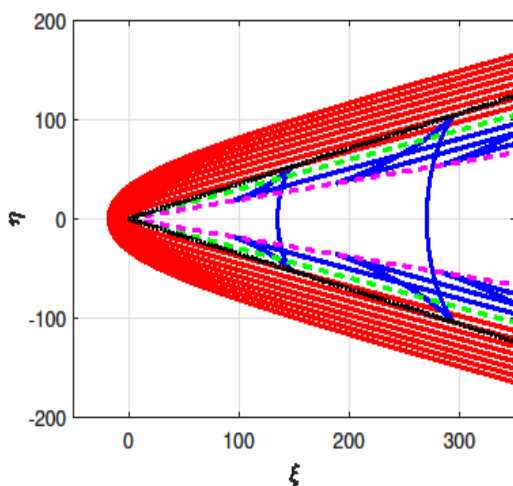
$$\xi_{\kappa} = \eta_{\kappa} = 0$$

Простая зависимость скорости от волнового числа на каустиках

$$M_p^2 = \frac{1}{2a^2} \frac{-15\kappa_c^{12} + 111\kappa_c^8 + 59\kappa_c^4 - 3}{15\kappa_c^9 + 30\kappa_c^5 - \kappa_c}$$

$$M_p^{cusp} = 1.7527 \text{ - critical point}$$

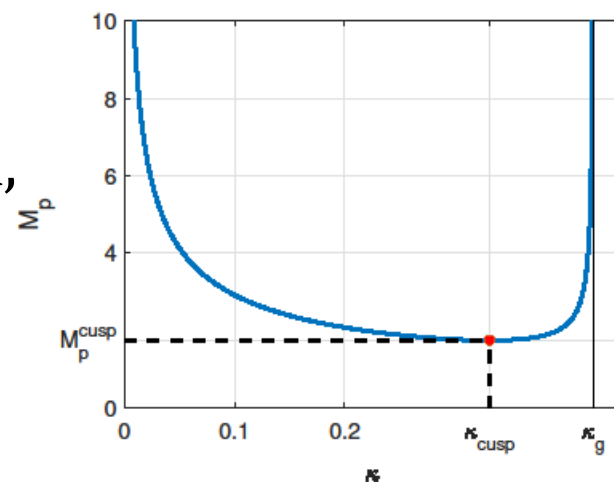
$$\kappa_{cusp} = 0.33167$$



$$M_p \rightarrow \infty$$

$\kappa_c \rightarrow 0$, - грав. ветка.

$\kappa \rightarrow \kappa_g$ - угол Кельвина,
групповой Мах как
предел



Динамика

Общие соотношения

$$F(\xi, \eta, \tau) = H(\xi, \eta, \tau) \cos(\varphi + \varphi_1) \quad \text{Эталонное решение}$$

$$H = \frac{1}{\sqrt{D}} \exp \left\{ -\frac{\Lambda(\xi, \eta, \tau)}{2D^2} \right\} \quad \text{- Гауссов импульс}$$

$$D^2(\tau) = 1 + \tau^2 (2\mu_{xy}^2 + \mu_x^2 + \mu_y^2) + \tau^4 (\mu_{xy}^2 - \mu_x \mu_y)^2 \quad \text{- объем}$$

$$\varphi_0 = kx + ly \quad \text{- фаза}$$

За дисперсию отвечают все вторые производные

$$\mu_x = (\Delta_x)^2 \frac{d^2 \sigma}{d\kappa_x^2}, \quad \mu_y = (\Delta_y)^2 \frac{d^2 \sigma}{d\kappa_y^2}, \quad \mu_{xy} = \Delta_x \Delta_y \frac{d^2 \sigma}{d\kappa_x d\kappa_y}$$

Аргумент экспоненты – положительно определенная квадратичная форма

$$\Lambda(\xi, \eta, \tau) = \eta^2 [1 + \tau^2 (\mu_{\eta\xi}^2 + \mu_\eta^2)] + \xi^2 [1 + \tau^2 (\mu_{\xi\eta}^2 + \mu_\xi^2)] - 2\xi\eta\tau^2 \mu_{\xi\eta} (\mu_\xi + \mu_\eta)$$

Динамика и углы Маха

$D^2 = (1 - A)^2 + B^2$ - объем волнового пакета

$A \sim \tau^2$ - общий случай, цилиндрическая расходимость + дисперсия $Amplitude \sim r^{-1}$

$B \sim \tau$ - затухание более медленное $Amplitude \sim r^{-1/2}$

$$A = \tau^2 E^2 (\kappa^4 - \kappa_g^4);$$

На групповом Махе κ_g , дисперсия исчезает

($E = \Delta_x \Delta_y$ - Спектральная ширина 2-мерного пакета)

На фазовом Махе фаза $\varphi_0 = kx + ly = const$

$$F \sim \frac{1}{\sqrt{D}} \cos(\varphi_0 + \varphi_1)$$

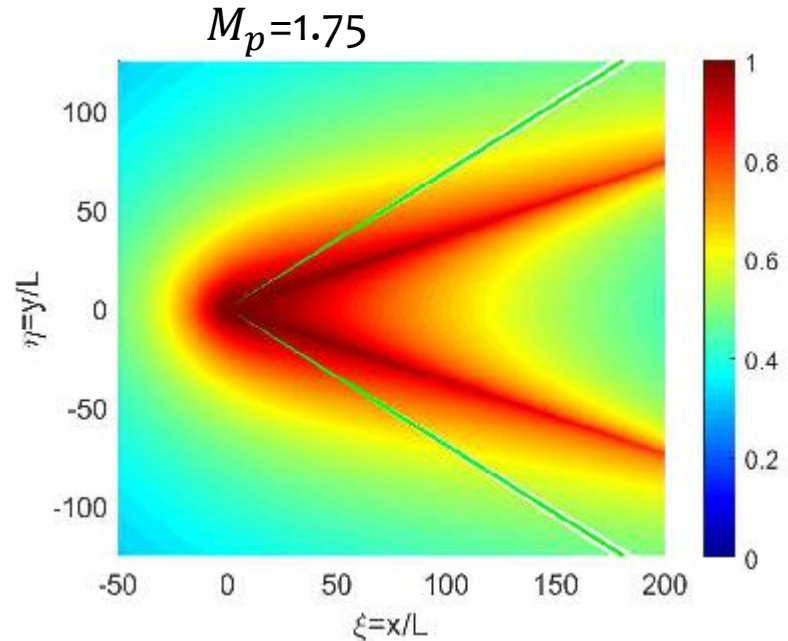
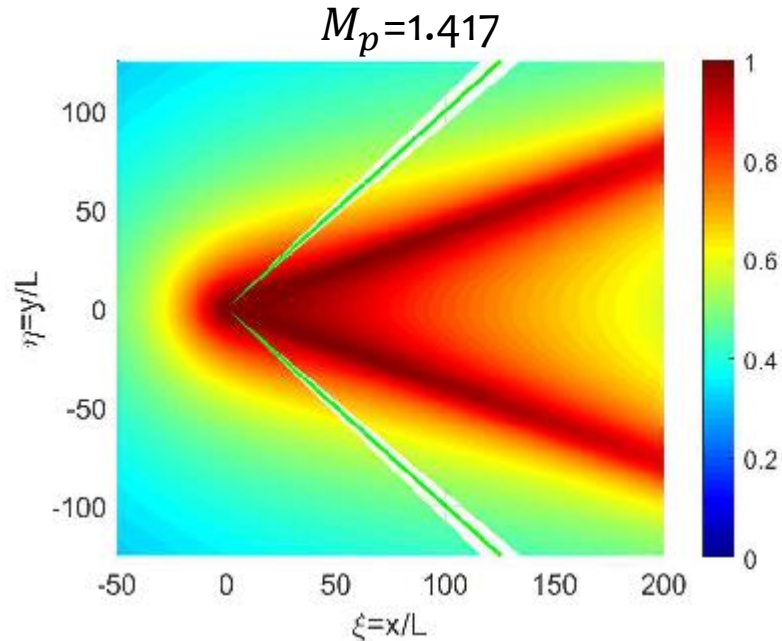
Остается зависящая от координат «стац. фазовская» φ_1

Решение зависит от формы источника (эксцентриситет)

Амплитуда

$$\alpha = 1/3$$

$\alpha = \Delta_y / \Delta_x$ – length – to – beam ratio



Bulldozing? Эталонные решения начинают работать раньше, чем стац.фаза?

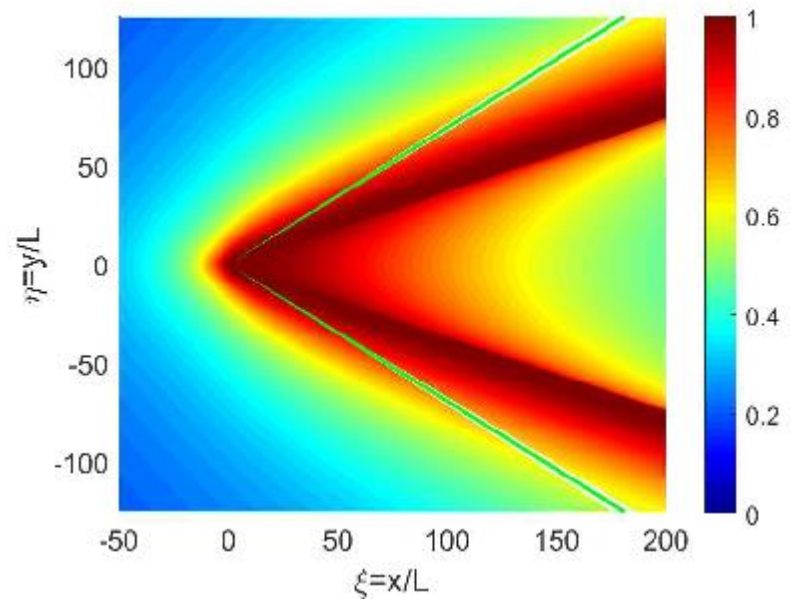
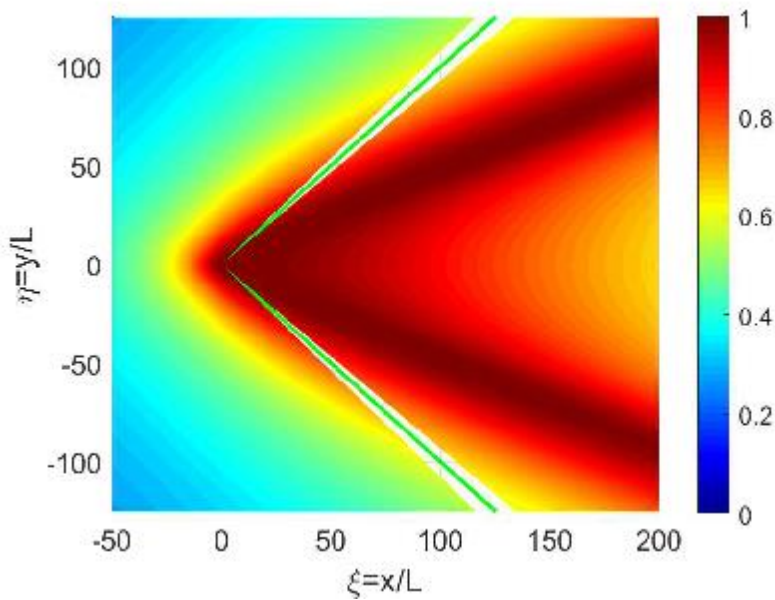
Амплитуда

$$\alpha=1$$

$\alpha = \Delta_y / \Delta_x$ – length – to – beam ratio

$$M_p=1.417$$

$$M_p=1.75$$



Circular source is still wide

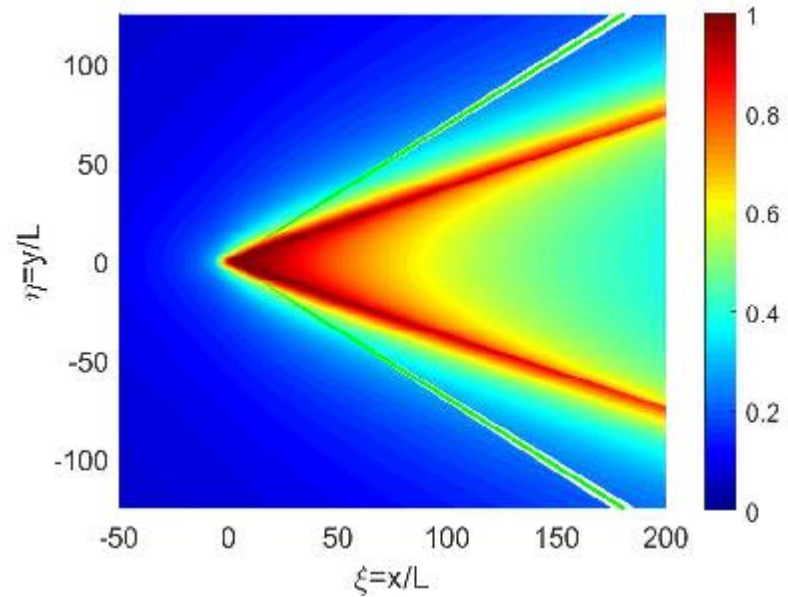
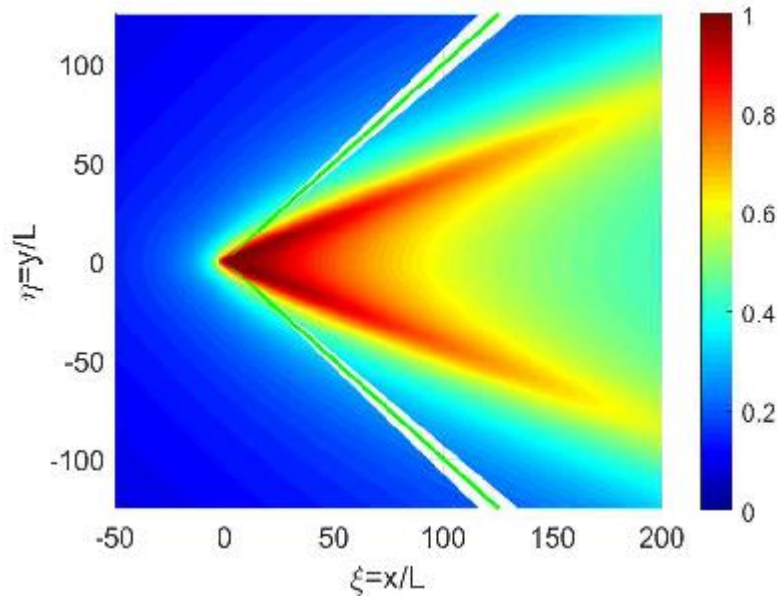
Амплитуда

$$\alpha=3$$

$\alpha = \Delta_y / \Delta_x$ – length – to – beam ratio

$$M_n=1.417$$

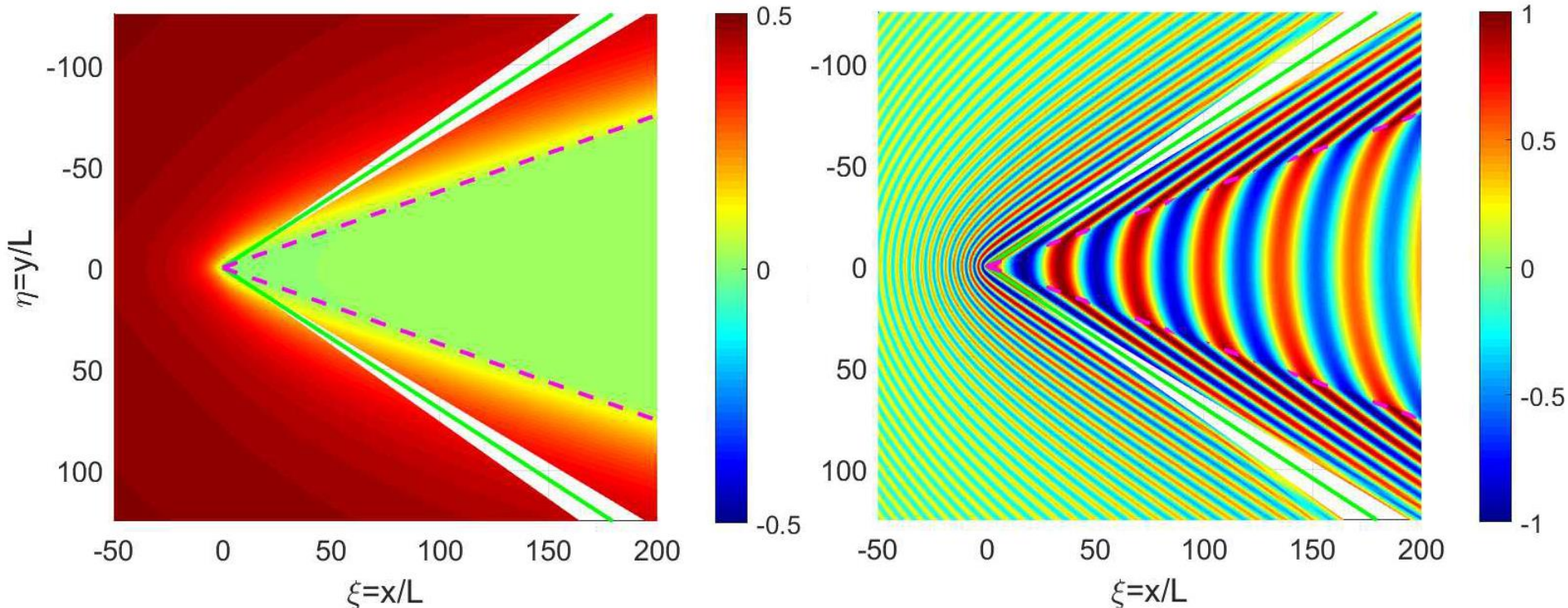
$$M_n=1.75$$



Elongated source. On the way to the group Mach cone

Фаза φ_1 (стац.фаза) и волновая поверхность

Фаза изменяется непрерывно на границе разных волновых систем (см. метод стац.фазы)



Круглый источник ($\alpha=1$), $M_p=1.75$ - появление каустик

Summary

1. Исследована **кинематика** стационарного волнового следа;
2. С помощью метода эталонных решений получены **выражения для амплитуд**;
3. Рассмотрены эффекты аномально медленного убывания амплитуды (**квази-дисперсии**)
4. Продемонстрированы особенности волнового следа **для источников разной формы**
5. Показано соответствие (качественное) результатам, полученным с помощью метода **стационарной фазы**



Thank you

Bibliography

- Bukatov, A. E. 2017 Waves in Sea with Floating Ice Cover. Sebastopol, Marine Hydrophys. Inst. (in Russian).
- Clauss, G. F. & Bergmann, J. 1986 Gaussian wave packets: a new approach to seakeeping tests of ocean structures. *Appl. Ocean Res.* 8 (4), 190-206.
- Davys, J. W., Hosking, R. J. & Sneyd, A. D. 1985 Waves due to a steadily moving source on a floating ice plate. *J. Fluid Mech.* 158, 269-287.
- Gnevyshev, V. G. & Badulin, S. I. 2017 On the asymptotics of multidimensional linear wave packets: Reference solutions. *Moscow University Physics Bulletin* 72 (4), 415-423.
- Gnevyshev, V. G. & Badulin, S. I. 2020b On reference solutions for ship waves. *AIP Advances* 10, 025014.
- Gnevyshev, V. & Badulin, S. 2020a Wave patterns of gravity-capillary waves from moving localized sources. *Fluids* 5 (4).
- Kashiwagi, M. 2004 Transient responses of a VLFS during landing and take-off an airplane. *J. Mar. Sci. Technol.* 9, 14-23.
- Kelvin, Lord 1906 Deep sea ship waves. *Proceedings of the Royal Society of Edinburgh* 25 (2), 1060-1084.
- Lamb, H. 1978 *Hydrodynamics*. 6th edn. Cambridge University Press.
- Liang, H. & Chen, X. 2018 Asymptotic analysis of capillary-gravity waves generated by a moving disturbance. *Eur. J. Mech. B/Fluids* 72, 624-630.
- Lighthill, M. J. 1965 Contributions to the theory of waves in nonlinear dispersive systems. *J. Inst. Maths. Appl.* (1), 269-306.
- Lighthill, J. 1978 *Waves in fluids*. Cambridge, United Kingdom: Cambridge University Press, 504 p.
- Moissy, F. & Rabaud, M. 2014 Mach-like capillary-gravity wakes. *Phys. Rev. E* 90, 023009.
- Noblesse, F. & He, J. & Zhu, Y. & Hong, L. Zhang, C. Zhu, R. Yang, C. 2014 Why can ship wakes appear narrower than Kelvin's angle? *Eur. J. Mech. B/Fluids* 90, 023009.

- Nugroho, W.S. & Wang, K. & Hosking, R.J. & Milinazzo, F. 1999 Time-dependent response of a floating flexible plate to an impulsively started steadily moving load. *J.Fluid Mech.* 381 337-355.
- Pogorelova, A. V. & Kozin, V. M., & Matyushina, A. A. 2015 Stress-strain state of ice cover during aircraft takeoff and landing. *J. Appl. Mech. Techn. Phys.* 56 (5) 920-926.
- Rabaud, M. & Moisy, F. 2013 Ship wakes: Kelvin or Mach angle? *PRL* 110, 214503.
- Rayleigh, Lord. 1883 The form of standing waves on the surface of running water. *Proc.Lond. Math.Soc.* XV, 69-78.
- Rousseaux, G. & Kellay, H. 2020 Classical hydrodynamics for analogue spacetimes: Open channel flows and thin films. *Phil. Trans. R. Soc. A Math. Phys. Eng. Sci.* 378, 20190233.
- Squire, V. A., Hosking, R. J., Kerr, A. D. & Langhorne, P. J., 1996 *Moving Loads on Ice Plates*, Kluwer. Academ. Publ., Dordrecht.
- Sretensky, L. N., 1977 *The theory of wave motion of fluid*, 2-nd ed., Nauka, Moscow (in Russian).
- Stepanyants, Y. A. & Sturova, I. V. 2021 Hydrodynamic forces exerting on an oscillating cylinder under translational motion in water covered by compressed ice *Water* 13 (6), 822.
- Stokes, G.G. 1905 *Mathematical and Physical Papers*, , vol. 5, Chap. Problem 11 of the Smith's Prize examination papers (Feb. 2, 1876), p. 362. Cambridge University Press, reprinted by Johnson Reprint Co., New York, 1966.
- Sturova, I. V. 2013 Unsteady three-dimensional sources in deep water with an elastic cover and their applications *J. Fluid Mech.* 730 392-418.
- Sturova, I. V. 2021 Motion of a load over an ice sheet with non-uniform compression *Fluid Dynamics* 56 (6), 503.
- Svirkunov, P. N. & Kalashnik, M. V. 2014 Phase patterns of dispersive waves from moving localized sources. *Physics-Usp ekhi* 57 (1).
- Thomson, W. 1886 XLII. On stationary waves in flowing water. Part I. *Philosoph. Magazine Series 5* 22:137, 353-357
- Thomson, W. 1887 On ship waves. *Proc. Inst. Mech. Engrs* 38, 409-434.
- Voronovich, A. G. 1976 Propagation of internal and surface gravity waves in the approximation of geometrical optics. *Izv. Acad. Sc. USSR. Atm. Ocean. Phys.* 12, 850-857.
- Weeks, W. F & Anderson, D. L. 1958 An Experimental Study of Strength of Young Sea Ice. *Transactions, American Geophysical Union* 39 (4), 641-647.
- Whitham, G. B. 1974 *Linear and Nonlinear Waves*. Wiley, New York, 636 p.